

В. И. АКСЕНОВ, И. Г. БЕЛОУСОВ

## О ТЕРМОИОННОМ ПЕРЕНОСЕ ВЕЩЕСТВА ЧЕРЕЗ ЭЛЕКТРОЛИТ

(Представлено академиком М. А. Леонтьевым 15 II 1971)

В ряде работ (1-5) изучалась термо-э.д.с. и проводились измерения внутреннего сопротивления электрохимических ячеек типа



у которых электроды из одинакового металла поддерживаются при различных температурах, а ионная проводимость в цепи обеспечивается за счет катионов того же металла в жидком или твердом электролите.

Перенос вещества через электролит системы (1) под действием перепада температур не привлекал внимания исследователей — опубликованные работы по этому вопросу нам не известны. Между тем это явление представляет определенный интерес для дальнейшего развития термодинамики неравновесных процессов и может найти широкое практическое приложение в технике преобразования тепла в электричество, измерения интегральных потоков тепла, очистки металлов, защиты от коррозии корпусов кораблей и т. д. Не исключено, что явление ионного переноса вещества через твердую оболочку земной коры, обладающей смешанной электронной и ионной проводимостью, лежит в основе одного из механизмов рельефообразования.

В настоящей работе приведены результаты исследований термоионного переноса вещества для двух электрохимических систем

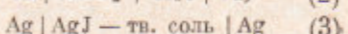
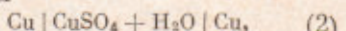


Рис. 1. Принципиальная схема установки для изучения термоионного переноса вещества через электролит

с жидким и твердым электролитом, не растворяющим материалы электродов. Последнее обстоятельство позволяет экспериментально изучать явление термоионного переноса в чистом виде. Отметим при этом, что поток вещества в системах (1), связанный с термодиффузией (эффектом Соре), пренебрежимо мал в сравнении с изучаемым.

Экспериментальная установка (рис. 1) представляет собой два массивных медных диска 1 и 2 с фигурными выточками для размещения тарель-

чатьх электродов из исследуемого материала. В нижней тарелке, электролитом изолированной от верхней, располагается электролит, содержащий катионы металла тарелок. Дистанция между дисками, определяющая толщину электролитного зазора, выдерживалась при помощи шамотовых колец 3. Нижний диск 2 подогревался электронагревателем 5, верхний диск 1 охлаждался вентилятором 6. Боковая поверхность пары дисков теплоизолировалась слоем шамота 4. Две термопары, установленные на верхнем диске, и одна термопара 7 нижнего диска позволяют измерять температуры, необходимые для вычисления теплового потока через электролит системы (1), и перепада температур на электролите. Напряжение (э.д.с.) и токи, связанные с ионным переносом вещества электродов через электролит, измерялись с помощью потенциометра Р-307 и миллиамперметра М-104. Изменение веса обоих электродов в течение эксперимента фиксировалось при помощи аналитических весов типа АДВ-200. Полный ток через электролит вычислялся графическим интегрированием кривых ток — время.

Расчетные значения э.д.с. для систем (2) и (3), вычисленные по энтропиям образования сульфата меди и иодида серебра соответственно, хорошо совпадают во всем интервале рабочих температур с опытными. Это подтверждает гипотезу, по которой механизм токообразования электрохимических систем (1) связан с энтропией электродных реакций и по величинам термо-э.д.с. согласуется с работами <sup>(2-5)</sup>.

Зависимости переноса вещества от перепада температур между электродами систем (2) и (3) в режиме короткого замыкания приведены на рис. 2. Сплошные прямые графиков рассчитаны по формуле

$$G_{\text{Me}} = \kappa M \frac{\Delta S}{(z F)^2} \text{ grad } T = v \text{ grad } T, \quad (4)$$

непосредственно вытекающей из предположения о чисто ионном механизме переноса вещества за счет разности термодинамических потенциалов реакций образования солей при температурах поверхностей электродов. Здесь:  $\kappa$  — удельная электропроводность ( $\text{ом}^{-1} \cdot \text{см}^{-1}$ );  $M$  — атомный вес иона, переносчика заряда;  $\Delta S$  — энтропия образования электролита ( $\text{дж}/\text{моль} \cdot \text{град}$ );  $z$  — валентность иона, переносчика заряда;  $F = 96\,500$  кул/моль — постоянная Фарадея;  $\text{grad } T$  — градиент температуры по толщине электролита ( $^{\circ}\text{C}/\text{см}$ );  $v$  — коэффициент ионного массопереноса ( $\text{г}/\text{м} \cdot \text{сек} \cdot \text{град}$ ). Из рис. 2 видно, что термоионный механизм переноса вещества весьма эффективен и что темп переноса пропорционален градиенту температуры. Теоретическое значение коэффициента ионного массопереноса  $v = \kappa M \frac{\Delta S}{(z F)^2}$  хорошо согласуется с экспериментальным.

Поступило  
9 II 1971

#### ЦИТИРОВАННАЯ ЛИТЕРАТУРА

- <sup>1</sup> С. де Гроот, П. Мазур, Неравновесная термодинамика, М., 1964. <sup>2</sup> Н. Нолтан, Proc. Koninkl. Neder. Ak. Wet., 56, 498 (1953). <sup>3</sup> Б. Ф. Марков, ДАН, 108, 115 (1956). <sup>4</sup> Б. Ф. Марков, Е. Б. Кузакин, Укр. хим. журн., 32, 11, 1180 (1966); 33, 2, 222 (1967); 34, 5, 456 (1968); 34, 8, 860 (1968). <sup>5</sup> Р. Gajewski, B. Staniszewski, T. Wartanowicz, Arch. Bud. Macz., 15, 2, 179 (1968).
- \* Роберт Ф. Ролстен, Иодидные металлы и иодиды металлов, М., 1968.



Рис. 2. Зависимость коэффициента ионного массопереноса в системах  $\text{Cu}|\text{SO}_4 + \text{H}_2\text{O}/\text{Cu}$  (а) и  $\text{Ag}|\text{AgI}$  — тв. соль/Ag (б). Для а:  $\Delta S_{\text{CuSO}_4} \sim 60 \text{ дж}/\text{моль} \cdot \text{град}$ ,  $\kappa \sim 2 \cdot 10^{-3} \text{ мо}/\text{см}$ ,  $\delta_{\text{заз}} \sim 0.14 \text{—} 0.15 \text{ см}$ ,  $f_{\text{ант}} \sim 10 \div 14 \text{ см}^2$ ; для б:  $\Delta S_{\text{AgI}} \sim 54 \text{ дж}/\text{моль} \cdot \text{град}$  ((<sup>6</sup>), стр. 235),  $\kappa (\leq 150^{\circ} \text{ С}) \sim 1.30 \text{ мо}/\text{см}$  ((<sup>6</sup>), стр. 233),  $\delta_{\text{заз}} \sim 0.16 \text{—} 0.20 \text{ см}$ ;  $f_{\text{ант}} \sim 0.20 \text{ см}^2$  от градиента температуры